

01;10  
©1993 г.

## СТАТИЧЕСКАЯ УСТОЙЧИВОСТЬ КОЛЬЦА С ТОКОМ В МАГНИТНОМ ПОЛЕ НЕПОДВИЖНОГО КОЛЬЦА

*А.И.Спицын*

Теоретически исследована устойчивость кольца с током в магнитном поле неподвижного кольца. Устойчивость определялась по критерию Сильвестра по всему набору переменных, характеризующих положение подвижного кольца относительно закрепленного. Рассмотрены все возможные случаи комбинаций постоянных токов и замороженных потоков в двух кольцах. Показано, что устойчивые состояния достижимы только в случае односторонних токов в кольцах, если хотя бы в одном из колец заморожен постоянный магнитный поток. При исследовании устойчивости введены два безразмерных дополнительных параметра, определяющих наличие или отсутствие областей устойчивости. Приведены расчетные данные для устойчивых состояний подвижного кольца в различных случаях с учетом ограничения на перемену знака тока в одном из колец.

### 1. Основные соотношения

Исследование устойчивости левитирующих во внешнем магнитном поле проводящих тел является важной задачей для практических применений [1-5]. В настоящей работе теоретически исследуется устойчивость сверхпроводящего кольца с током  $I_2$ , которое удерживается магнитным полем закрепленного токового кольца с током  $I_1$ . Магнитная сила, действующая на взвешенное кольцо, должна уравновесить его силу тяжести.

В литературе имеется ряд работ, непосредственно относящихся к рассматриваемому вопросу [6-8]. В работе [6] исследована устойчивость токонесущего кольца в осесимметричном магнитном поле, но не рассмотрен наиболее интересный случай устойчивого равновесия кольца, когда оно расположено выше средней плоскости зеркального внешнего поля при измененном направлении тока. В работах [7,8] приведено рассмотрение условий устойчивости для частного случая двух колец с односторонними токами. Однако для практического использования желательно рассмотрение областей устойчивости в более общем случае с введением большего числа параметров, характеризующих состояния устойчивости колец.

При дальнейшем рассмотрении будем предполагать, что радиусы колец  $a_1, a_2$  на много больше радиусов их поперечных сечений  $r_1, r_2$ . В

в этом случае при любых взаимных расположениях колец можно пренебречь вносимыми индуктивностями [9] и считать собственные индуктивности  $L_1$ ,  $L_2$  равными индуктивностям уединенных колец, а при расчете их взаимной индуктивности  $L_{12}$  кольца можно заменять контурами нулевой толщины.

Будем рассматривать три случая: 1) токи в кольцах при их взаимных перемещениях остаются постоянными  $I_1$ ,  $I_2 = \text{const}$ ; 2) магнитный поток, замороженный в ливитирующем кольце  $\Phi_2 = \text{const}$ , а в неподвижном  $I_1 = \text{const}$ ; 3) магнитные потоки в обоих кольцах постоянны  $\Phi_1$ ,  $\Phi_2 = \text{const}$ . Из закона сохранения энергии следует, что для всех трех рассматриваемых случаев можно ввести величину  $u$ , играющую роль потенциальной энергии,

$$u = \frac{1}{2} (S_1 I_1 \Phi_1 + S_2 I_2 \Phi_2), \quad S_k = \begin{cases} 1 & \Phi_k = \text{const}, \\ -1 & I_k = \text{const}, \end{cases} \quad (1)$$

где  $\Phi_1$ ,  $\Phi_2$  — магнитные потоки через кольца

$$\Phi_1 = L_1 I_1 + L_{12} I_2, \quad \Phi_2 = L_2 I_2 = L_{12} I_1. \quad (2)$$

Для определения явной зависимости  $u$  от координат она должна быть выражена как функция взаимной индуктивности  $L_{12}$  и сохраняющихся величин  $I_k$  или  $\Phi_k$  [8, 10]. Для системы, находящейся в поле потенциальных сил, справедлив критерий устойчивости Сильвестра [10].

Соотношения для компоненты силы в каком-либо направлении  $z$  и момента сил  $M_\varphi$  относительно произвольной оси в пространстве получаются из общих формул [11] дифференцированием соотношения (1) и для всех трех случаев приводятся к известным выражениям [8]

$$F_z = -\frac{\partial u}{\partial z} = I_1 I_2 \frac{\partial L_{12}}{\partial z}; \quad M_\varphi = -\frac{\partial u}{\partial \varphi} = I_1 I_2 \frac{\partial L_{12}}{\partial \varphi}. \quad (3)$$

Твердое тело в общем случае обладает 6 степенями свободы, за которые можно выбрать координаты центра масс в неподвижной системе отчета  $O\xi\eta\zeta$ , связанной с закрепленным горизонтально расположенным кольцом (рис. 1), и углы Эйлера [11], определяющие ориентацию подвижной системы отчета  $O_1\xi'\eta'\zeta'$ , связанной с телом, относительно системы  $O\xi\eta\zeta$ . Договоримся впредь выбирать направление оси  $\xi$  параллельно линии узлов  $\xi'$  и введем цилиндрическую систему координат, связанную с координатной системой  $O\xi\eta\zeta$  ( $\xi \parallel z$ ). Координаты центра подвижного кольца обозначим  $z$ ,  $r$ ,  $\alpha$ , а угол между его осью и осью  $\xi$  обозначим  $\theta$  (рис. 1). Вследствие симметрии относительно вращения вокруг оси подвижного кольца величина  $L_{12}$  не зависит от угла поворота вокруг этой оси. Аналогично при повороте радиуса вектора  $R_{12}$  вокруг оси  $z$  и неизменном угле  $\alpha$  (угол между линией узлов и направлением  $r$ ) взаимное положение двух колец не изменяется, а следовательно, не изменяется и взаимная индуктивность  $L_{12}$ . Таким образом, величина  $L_{12}$  может зависеть лишь от четырех независимых переменных, за которые выберем координаты  $z$ ,  $r$ ,  $\theta$  и  $\alpha$ .

Из осевой симметрии задачи следует, что положения равновесия осуществляются для соосных колец при размещении центра подвижного

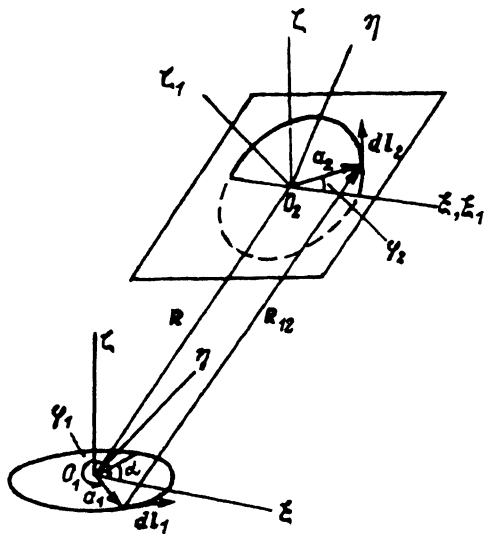


Рис. 1. Взаимное расположение подвижного и неподвижного колец.

кольца на оси  $z$ . Для нахождения интервалов устойчивости на оси  $z$  по критерию Сильвестра [10] необходимо найти все вторые производные от потенциальной энергии по координатам  $q_i = z, r, \theta, \alpha$  при  $\theta = r = 0$  и любых значениях  $z$  и  $\alpha$ . Из (3) это сводится к определению коэффициентов обобщенной жесткости  $k_{ik}$

$$k_{ik} = -\frac{\partial}{\partial q_i} \left( I_1 I_2 \frac{\partial L_{12}}{\partial q_k} \right) = -I_1 I_2 \frac{\partial^2 L_{12}}{\partial q_i \partial q_k} - \frac{\partial L_{12}}{\partial q_k} \frac{\partial}{\partial q_i} (I_1 I_2). \quad (4)$$

Так как первые производные по  $q_k$  при любых значениях  $z$  и  $\theta = r = 0$  не зависят от  $\alpha$ , то все величины  $k_{ik}$ , где хотя бы одно из  $q$  есть  $\alpha$ , равны нулю. Так как для случаев 2 и 3 токи зависят от координат только посредством  $L_{12}$ , то вследствие равенства нулю радиальной силы и момента сил относительно вращения вокруг линии узлов

$$\frac{dL_{12}}{dr} = \frac{dL_{12}}{d\theta} = 0$$

при  $\theta, r = 0$  для любых значений  $z$  следует, что  $k_{z\theta} = k_{zr} = 0$ . Таким образом, из 16 производных отличны от нуля лишь 5:  $k_{zz}, k_{rr}, k_{r\theta} = k_{\theta r}, k_{\theta\theta}$ . Из соотношения (4) получаем, что величины  $k_{rr}, k_{\theta\theta}$  и  $k_{r\theta}$  при  $\theta, r = 0$  для всех трех случаев совпадают и условия, накладываемые на устойчивость по этим координатам, будут одними и теми же. Отметим также следующее обстоятельство. При малых смещениях и поворотах для всех рассматриваемых случаев токи в кольцах остаются неизменными до членов, линейных по  $dr$  и  $d\theta$ , если их брать из положения  $r, \theta = 0$  [6]. Это непосредственно следует из соотношений (2).

Общее соотношение для взаимной индуктивности двух контуров нулевой толщины представляется в виде  $L_{12} = \mu_0 (4\pi)^{-1} \oint |R_{12}|^{-1} dl_1 dl_2$  [9], где  $R_{12}$  — радиус-вектор, проведенный от элемента дуги  $dl_1$  первого контура к элементу  $dl_2$  второго контура. Выразив  $dl_1, dl_2$  и  $R_{12}$  через орты

систем координат  $0\xi\eta\zeta$  и  $0\xi'\eta'\zeta$  и найдя углы между ортами в соответствии с выбором систем координат на рис. 1, взаимную индуктивность для двух окружностей можно записать в виде

$$L_{12} = \frac{\mu_0 a_1 a_2}{4\pi} \int_0^{2\pi} d\varphi_1 d\varphi_2 (\sin \varphi_1 \sin \varphi_2 + \cos \varphi_1 \cos \varphi_2 \cos \theta) \times \\ \times \left[ a_1^2 + a_2^2 + z^2 + r^2 - 2a_1 a_2 (\cos \varphi_1 \cos \varphi_2 + \sin \varphi_1 \sin \varphi_2 \cos \theta) + 2a_2 r \times \right. \\ \left. \times (\cos \alpha \cos \varphi_2 + \sin \alpha \sin \varphi_2 \cos \theta) - 2a_1 r \cos(\varphi_1 - \alpha) + 2za_2 \sin \varphi_2 \sin \theta \right]^{-1/2}. \quad (5)$$

Соотношение (5) дает явную зависимость  $L_{12}$  от радиусов колец  $a_1$ ,  $a_2$  и переменных  $r$ ,  $z$ ,  $\theta$ ,  $\alpha$ . Положив  $\theta, r = 0$  и проводя интегрирование соотношения (5) и его производной по  $z$ , найдем выражение для взаимной индуктивности и силы, действующей на кольцо в  $z$ -направлении,

$$L_{12} = \mu_0 \sqrt{a_1 a_2} m^{3/2} C(m); \quad F = \mu_0 I_1 I_2 \frac{m^{5/2}}{4m'} (C - D) \frac{z}{\sqrt{a_1 a_2}}. \quad (6)$$

Аналогично, дважды дифференцируя по  $r$ ,  $\theta$  и  $z$  и находя смешанную производную по  $\theta, r$  при  $\theta = r = 0$ , их (4) найдем

$$k_{rr} = \kappa [4m'(C - D) - z^2(a_1 a_2)^{-1} A],$$

$$k_{\theta\theta} = \kappa a_1 a_2 \left[ 4 \frac{m'}{m} E + \frac{z^2}{a_1^2} A \right],$$

$$k_{r\theta} = \kappa z \sin \alpha \left[ \frac{a_2}{a_1} A + 2 ((m')^2 + m) D + ((m')^2 + 5m' - 2) C \right],$$

$$\kappa = \frac{\mu_0 I_1 I_2}{32\sqrt{a_1 a_2}} \frac{m^{5/2}}{(m')}; \quad A = m(m'C - 2E); \quad m = \frac{4a_1 a_2}{(a_1 + a_2)^2 + z^2}. \quad (7)$$

Здесь  $m$  — параметр эллиптических интегралов;  $m' = 1 - m$ ;  $C, D, E$  — эллиптические интегралы, затащулированные, например, в [12].

## 2. Условия, накладываемые на устойчивость по переменным $r, \theta$

Критерий Сильвестра по отношению к переменным  $r, \theta$  приводит к следующим условиям, определяющим устойчивые положения равновесия  $k_{rr} > 0$ ,  $k_{\theta\theta} > 0$ ,  $k_{rr} k_{\theta\theta} - k_{r\theta}^2 > 0$ . Области, определяемые этими неравенствами, не зависят ни от токов, ни от потоков, замороженных в кольцах. За переменные, характеризующие состояния равновесия движущего кольца, выберем  $z/a_1$  и  $\sqrt{a_1/a_2}$ . Тогда множество точек на плоскости, удовлетворяющих уравнениям

$$k_{rr} = 0, \quad k_{\theta\theta} = 0, \quad k_{rr} k_{\theta\theta} - k_{r\theta}^2 = 0, \quad (8)$$

будут представлять линии, разделяющие всю плоскость на части, где знаки соответствующих левых частей уравнения (8) противоположны. С помощью соотношений (7) уравнения  $k_{rr} = 0$  и  $k_{\theta\theta} = 0$  легко разрешаются относительно величин  $z/\sqrt{a_1 a_2}$  и  $z/a_1$  как функций параметра  $t$ . Использование связи этих величин с параметром эллиптических интегралов  $t$  из (7) приводит в обоих случаях к квадратным уравнениям относительно  $a_1/a_2$ . Придавая различные возможные значения  $t$ , получим множество решений первых двух уравнений (8).

Величина  $k_{r\theta}$ , как следует из соотношений (7), зависит от угла  $\alpha$ . Очевидно для выполнения неравенства  $k_{rr}k_{\theta\theta} - k_{r\theta}^2 > 0$  при любых  $\alpha$  достаточно ограничиться значениями  $\alpha = \pm\pi/2$ , тогда для всех других значений углов  $\alpha$  это неравенство будет выполняться автоматически. Используя соотношения (7) для величин  $k$  при  $\alpha = \pm\pi/2$  и подставляя их в третье из уравнений (8), после преобразований получим следующее уравнение третьей степени относительно  $v = a_2/a_1$ :

$$v^3 + rv^2 + sv + t = 0, \quad r = 2 - \delta - t,$$

$$t = \frac{1 - (\gamma^2 - p)}{\beta + 2\gamma - \delta + 2}, \quad s = 1 + (2 - \delta)t + \frac{p\beta}{\beta + 2\gamma - \delta + 2}. \quad (9)$$

Здесь величины  $p$ ,  $\beta$ ,  $\gamma$  и  $\delta$  являются функциями  $t$  и приводятся к соотношениям

$$p = \frac{4m'E}{Qm}, \quad \beta = \frac{4m'(D - C)}{Q}, \quad \delta = \frac{4}{m},$$

$$\gamma = \frac{1}{Q} [2((m')^2 + m)D + ((m')^2 + 5m' - 2)C], \quad Q = m[2E - m'C].$$

Кубическое уравнение (9) стандартной заменой  $v - r/3$  сводится к приведенному уравнению, которое алгебраически разрешается относительно  $v$ . Таким образом, и в данном случае существует строгое аналитическое решение для граничной кривой по смешанным переменным  $\theta$ ,  $r$ . Аналогично предыдущим случаям, придавая  $t$  различные возможные значения, лежащие в интервале от 0 до 1, получим граничные точки соответствующей области устойчивости.

На рис. 2 в относительных единицах  $z/a_1$  приведены зависимости граничных точек областей устойчивости от  $\sqrt{a_1/a_2}$ , являющиеся решениями уравнения (8). Кривые 1-3 на рис. 2 соответствуют первому, второму и третьему уравнениям (8). Для кривых 1,2 знак неравенства ( $>$  или  $<$ ) в каждой из двух областей, на которые эти линии делят всю плоскость, зависит от того, имеют ли токи в колцах  $I_1$  и  $I_2$  одинаковые или противоположные направления. При знаке произведения  $I_1 I_2 < 0$  (случай отталкивания колец) область, определяемая неравенством  $k_{rr} > 0$ , лежит ниже участков кривой 1, а неравенство  $k_{\theta\theta} > 0$  справедливо в области, окаймляемой кривой 2. В случае третьей границы, определяющей устойчивость по смешанным переменным  $\theta$ ,  $r$ , соответствующее неравенство  $k_{rr}k_{\theta\theta} - k_{r\theta}^2 > 0$  независимо от знака произведения  $I_1 I_2$  выполняется для всех точек на плоскости, лежащих выше этой границы. Так как для  $I_1 I_2 < 0$  эти области не имеют общей части, то устойчивого состояния равновесия подвижного кольца в этом случае не существует. Это

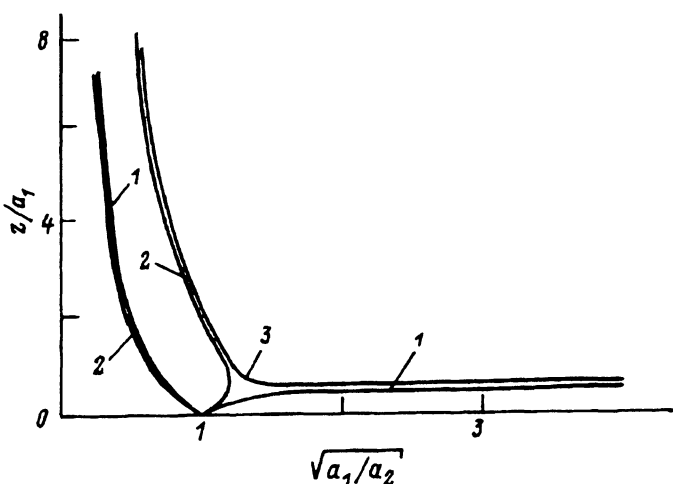


Рис. 2. Границы областей устойчивости по переменным  $r$  (1),  $\theta$  (2) и  $\theta$ ,  $r$  (3).

находится в соответствии с данными работы [6]. При изменении знака произведения  $I_1 I_2$  на противоположный знак величин  $k_{rr}$  и  $k_{\theta\theta}$  в соответствующих областях, ограниченных кривыми 1 и 2, изменяется на противоположный. Поэтому, как непосредственно следует из рис. 2, общей областью, где выполняются все условия устойчивости по координатам  $\theta$  и  $r$  для случая  $I_1 I_2 > 0$ , будет область, лежащая выше кривой 3.

Из предельных соотношений для эллиптических функций при  $t \rightarrow 0$   $E = \pi/2$ ,  $C = \pi/16$  и  $D = \pi/4$  для величин  $r$ ,  $s$  и  $t$  (9) получим асимптотические соотношения  $r = -74/(15t)$ ,  $s = 40/(15t^2)$  и  $t = -14/(15r)$ . Решение кубического уравнения для случая  $a_1/a_2 \rightarrow 0$  приводит к соотношению  $z/a_1 = \sqrt{0.4}$ , описывающему правый предел границы 3. Аналогично этому для  $a_1/a_2 \rightarrow 0$  получаем асимптотическое соотношение для левой части границы 3

$$\frac{z}{a_2} = \sqrt{60 \left( 37 - \sqrt{769} \right)^{-1}} - 1 \approx 2.34.$$

### 3. Осевая устойчивость подвижного кольца

Критерий устойчивости Сильвестра [10] по отношению к осевой координате  $z$  сводится к условию  $k_{zz} > 0$ . Вначале рассмотрим первый случай, когда в кольцах поддерживается постоянные по величине токи  $I_1, I_2 = \text{const}$ . Дифференцирование по  $z$  соотношения (5) при  $\theta, r = 0$  приводит к равенству  $k_{zz} = -2k_{rr}$ , из которого непосредственно следует, что устойчивость колец независимо от знака произведения  $I_1 I_2$  в этом случае невозможна, поскольку условия  $k_{zz} > 0$  и  $k_{rr} > 0$  несовместимы.

Находя токи в кольцах из соотношений (2) и подставляя их в (4), после несложных преобразований получаем соотношения для коэффициентов осевой жесткости  $k_{zz}$  для второго и третьего случаев, упомянутых в

разделе 1,

$$k_{zz} = I_1 I_2 \left[ -L''_{12} + (L'_{12})^2 \left( \frac{I_{20}}{I_1} L_2 - L_{12} \right)^{-1} \right], \quad I_1, \Phi_2 = \text{const}, \quad (10a)$$

$$k_{zz} = I_1 I_2 \left\{ -L''_{12} + (L'_{12})^2 \left[ \left( \frac{I_{10}}{I_{20}} L_1 - L_{12} \right)^{-1} + \left( \frac{I_{20}}{I_{10}} L_2 - L_{12} \right)^{-1} - \frac{4L_{12}}{L_1 L_2 - L_{12}^2} \right] \right\},$$

$$\Phi_1, \Phi_2 = \text{const}. \quad (10b)$$

Здесь  $I_{10}$  и  $I_{20}$  — токи в кольцах, когда они удалены на бесконечное расстояние друг от друга;  $L_1$  и  $L_2$  — собственные индуктивности колец, которые в рассматриваемом приближении можно взять в виде [9]  $L_i = \mu_0 a_i [\ln(8a_i r_i^{-1}) - 2]$  ( $i = 1, 2$ ); штрихи обозначают дифференцирование по координате  $z$ . Для дальнейшего формулы для собственных индуктивностей удобно представить в виде

$$L_i = \mu_0 a_i \tilde{L}_i; \quad \tilde{L}_i = \ln \left( \frac{8a_i}{r_i} \right) - 2 \quad (i = 1, 2). \quad (11)$$

Границы области устойчивости по осевой координате определяются условием  $k_{zz} = 0$ , которое с помощью равенств  $L'_{12} = (I_1 I_2)^{-1} F$ ,  $L''_{12} = -2K_{rr}(I_1 I_2)^{-1}$  и соотношений (6), (7), (10) и (11) сводится к уравнениям

$$(1 - \tilde{\xi}^2 \tilde{\alpha}) + \tilde{\gamma} \tilde{\xi}^2 \left( s_2 u^{-1} - \tilde{\beta} \right)^{-1} = 0, \quad I_1, \Phi_2 = \text{const}, \quad (12a)$$

$$(1 - \tilde{\xi}^2 \tilde{\alpha}) + \tilde{\gamma} \tilde{\xi}^2 \left[ \left( s_2 u^{-1} - \tilde{\beta} \right)^{-1} + (s_1 u - \beta)^{-1} - 4\tilde{\beta} \left( s_1 s_2 - \tilde{\beta}^2 \right)^{-1} \right] = 0,$$

$$\Phi_1 \Phi_2 = \text{const}, \quad (12b)$$

$$\tilde{\alpha} = \frac{m(2E - m'C)}{4m'(D - C)}, \quad \tilde{\gamma} = \frac{m^{5/2}(D - C)}{4m'},$$

$$\tilde{\beta} = m^{3/2}C, \quad u = (a_1 \cdot a_2^{-1})^{1/2}, \quad \tilde{\xi} = z(a_1 a_2)^{-1/2}, \quad (13)$$

где  $s_1 = I_{10} I_{20}^{-1} \tilde{L}_1$ ,  $s_2 = I_{10}^{-1} I_{20} \tilde{L}_2$  — безразмерные параметры.

В случае постоянства величин  $I_1, \Phi_2$  очевидно  $\tilde{I}_1 = I_{10}$ . Для различных фиксированных значений  $m$  с учетом соотношения для  $m$  (7) уравнения (12a) и (12b) сводятся к уравнениям 5-й и 6-й степени относительно  $u$ .

На рис. 3 сплошными кривыми приведены результаты численного решения уравнения (12a) для значений параметра  $s_2 = 0.1$  (кривая 1), 0.3 (кривая 2), 1 (кривая 3) и 10 (кривая 4). Для токов, имеющих одинаковое направление в контурах  $I_{10} I_{20} > 0$ , устойчивым состояниям равновесия могут соответствовать только точки, лежащие ниже этих кривых. Поэтому области устойчивости будут существовать только в тех случаях, когда кривые, описываемые уравнением (12a), лежат выше границ устойчивости по координатам  $\theta, r$  (кривая  $a$  на рис. 3). Это осуществляется при значении параметра  $s_2 \lesssim 1$ . Отметим также следующее.

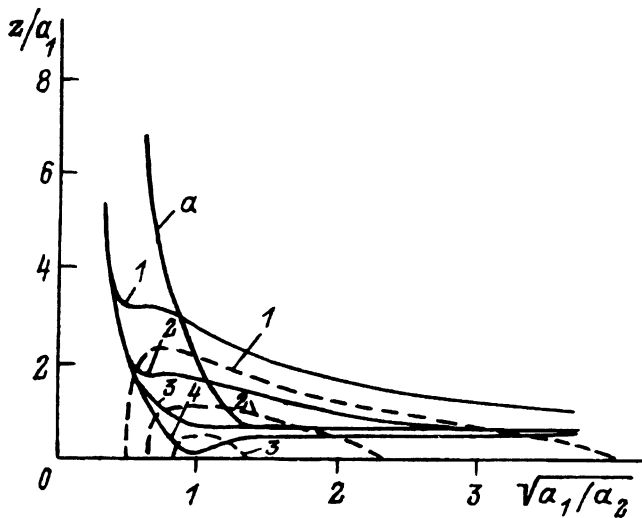


Рис. 3. Границные линии областей устойчивости по осевой координате (сплошные кривые) и из-за ограничения по току (пунктир) для случая  $I_1, \Phi_2 = \text{const}$ .  
 $s_2 = 0.1$  (1), 0.3 (2), 1 (3), 10 (4). Линия  $a$  соответствует кривой 3 на рис. 2.

Преобразование  $I_{10} \leftrightarrow I_{20}, L_2 \leftrightarrow L_1, a_1 \leftrightarrow a_2$  приводит (12а) к уравнению, описывающему граничную линию осевой устойчивости случая  $\Phi_1, I_2 = \text{const}$ . Поэтому сплошные линии 1–4 на рис. 3 в то же время представляют граничные линии в координатах  $z/a_2$  от  $(a_2 a_1^{-1})^{1/2}$  для случая  $\Phi_1, I_2 = \text{const}$  при значении параметра  $s_1$ , соответствующего этому случаю, численно равному  $s_2$ .

На рис. 4, а, б сплошными линиями приведены данные численного решения уравнения (12б) для случая, когда в кольцах заморожены магнитные потоки  $\Phi_1 = L_1 I_{10}$  и  $\Phi_2 = L_2 I_{20}$ .

Соответствующие границы промежутков устойчивости по координате  $z$  при фиксированном отношении  $a_1 a_2$  для этого случая определяются двумя безразмерными параметрами  $s_1$  и  $s_2$ . Более удобно за эти параметры выбрать их комбинации  $\tilde{x} = \sqrt{s_1 s_2} = \sqrt{\tilde{L}_1 \tilde{L}_2}$  и  $\tilde{y} = \sqrt{s_1 s_2^{-1}} = I_{10} I_{20}^{-1} \sqrt{\tilde{L}_1 \tilde{L}_2^{-1}}$ . Первый из них не зависит от значений потоков в кольцах и для рассматриваемого приближения  $a_i \gg r_i$  реально может изменяться в пределах 3–6. Данные на рис. 4, а, б соответствуют значениям параметра  $\tilde{x} = 4$  и различным значениям  $\tilde{y}$ . Так же как и в предыдущем случае, существуют предельные значения параметров  $\tilde{y} \lesssim 0.4$  и  $\tilde{y} \gtrsim 4$ , при которых возможно существование областей устойчивости. Следует отметить, что в случае подвешенного кольца в поле другого кольца или катушки граница интервала устойчивости зависит от соотношения замороженных потоков в кольцах. Это отличается от случая односвязного взвешенного тела, когда граничные точки интервалов устойчивости из-за ограничения по осевой координате не зависят от замороженного потока в источнике поля [2, 13, 14].

Кроме выше указанных ограничений могут существовать ограничения, накладываемые на значения токов в кольцах. Если токи  $I_{10}$  и  $I_{20}$ , текущие в кольцах при удалении их на бесконечное расстояние друг от

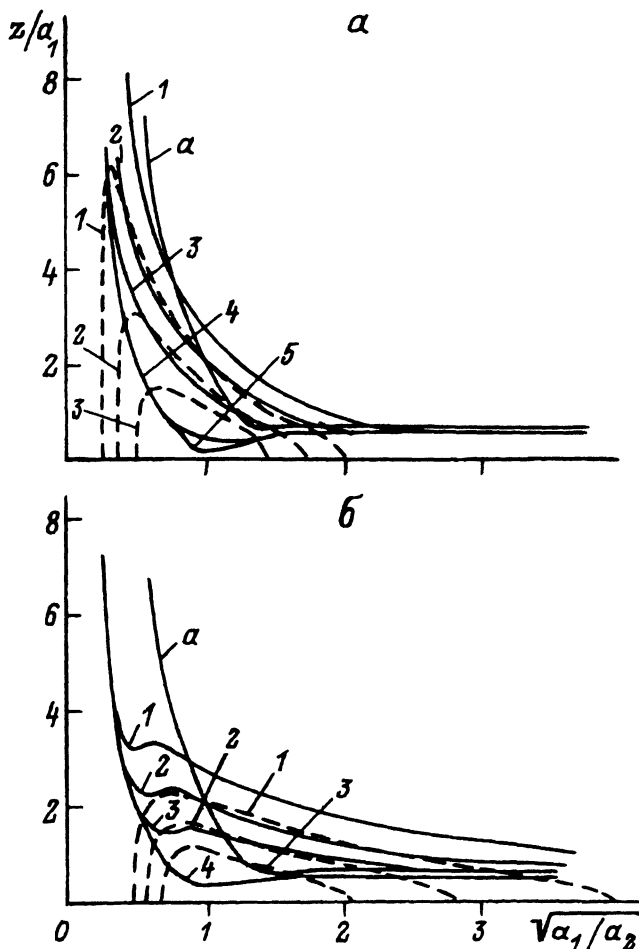


Рис. 4. Границные линии областей устойчивости по осевой координате (сплошные кривые) и из-за ограничения по току (пунктир) для случая  $\Phi_1, \Phi_2 = \text{const}$  и значения параметра  $\tilde{x} = 4$ .  
 а:  $\tilde{y} = 0.025$  (1), 0.05 (2), 0.1 (3), 0.5 (4) и 1 (5); б:  $\tilde{y} = 40$  (1), 20 (2), 10 (3), 2 (4).

друга, имеют одно направление, то при их сближении ток в одном из колец может изменить знак, а следовательно, состояние подвижного кольца будет неустойчиво. Из соотношений (2) для магнитных потоков аналогично выводу соотношений (12а) и (12б) получаем условия, определяющие обращение токов в нуль в первом или втором кольцах,

$$s_1 u - \tilde{\beta} = 0, \quad \frac{s_2}{u} - \tilde{\beta} = 0, \quad (14)$$

где обозначения те же, что и в соотношениях (12а) и (12б).

Для фиксированного значения  $a_1/a_2$  в случае  $\Phi_1, \Phi_2 = \text{const}$  одно из этих условий является основным и выполняется при большем удалении колец друг от друга. Во всех случаях, когда существуют области устойчивости, для всех значений  $a_1/a_2$  важно только одно из условий (14). На

рис. 3, 4 пунктиром показаны данные численного решения уравнения (12) для тех же значений параметров  $s$ , что и для соответствующих сплошных кривых. Из рисунков следует, что существуют два рода промежутков на оси  $\sqrt{a_1/a_2}$ , где область устойчивости снизу ограничена как линией  $a$ , определяющей границы устойчивости по координатам  $\theta, r$ , так и линией, определяющей ограничения по токам.

Для практического взвешивания кольца в магнитном поле другого кольца необходимо выбрать такие размеры колец и заморозить в них такие потоки, чтобы соответствующая точка в плоскости  $z/a_1, \sqrt{a_1/a_2}$  находилась в области устойчивости. При этом, конечно, необходимо выполнение условия равенства веса подвижного кольца вертикальной составляющей магнитной силе (6).

### Список литературы

- [1] Белозеров В.И., Левин Н.А., Никулин М.Г. // ЖТФ. 1970. Т. 40. Вып. 4. С. 669–672.
- [2] Спицын А.И., Личман Е.А. // ЖТФ. 1989. Т. 59. Вып. 2. С. 193–196.
- [3] Жевляк А.В., Музлов Д.П. // ЖТФ. 1982. Т. 32. Вып. 7. С. 1299–1303.
- [4] Буряк А.А., Горский О.И., Дзензерский В.А. и др. // ЖТФ. 1991. Т. 62. Вып. 2. С. 82–87.
- [5] Гришин С.Д., Заводский В.А., Огородников С.Н. и др. // ЖТФ. 1987. Т. 57. Вып. 11. С. 2235–2238.
- [6] Нейл В.К., Купер Р.К. // Приборы для науч. исслед. 1969. № 2. С. 93–101.
- [7] Козорез В.В., Чеборин О.Г. // ДАН УССР. Сер. А. 1977. № 1. С. 80–82.
- [8] Козорез В.В. Динамические системы магнитно-взаимодействующих свободных тел. Киев: Наукова думка, 1981. 140 с.
- [9] Колантаров П.Л., Цейтлин М.Б. Расчет индуктивности. Л.: Энергоатомиздат, 1986. 488 с.
- [10] Пановко Я.Г. Введение в теорию механических колебаний. М.: Наука, 1991. 255 с.
- [11] Ландау Л.Д., Либшиц Е.М. Механика. М.: Наука, 1988. 216 с.
- [12] Янке Е., Эмде Ф. Таблицы функций. М.: Физматгиз, 1959. 420 с.
- [13] Менде Ф.Ф., Дубров Н.Н., Спицын А.И. // ЖТФ. 1981. Т. 51. Вып. 3. С. 666–669.
- [14] Спицын А.И., Ванцан В.М. // Радиотехника. Харьков, 1991. Вып. 94. С. 109–114.

Харьковский институт радиоэлектроники  
им. М.К.Янгеля  
Научно-учебное-производственное  
объединение “Дельта”

Поступило в Редакцию  
20 декабря 1991 г.  
В окончательной редакции  
9 июня 1992 г.